

Elementorganische Amin/Imin-Verbindungen, XXVIII¹⁾

Polycyclische Phosphor-Stickstoff-Rhenium(I)-Komplexe

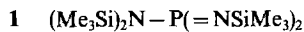
Otto J. Scherer*, Petra Quintus und William S. Sheldrick *†

Fachbereich Chemie der Universität Kaiserslautern,
Erwin-Schrödinger-Straße, D-6750 Kaiserslautern

Eingegangen am 5. Februar 1987

Die Thermolyse von $[(OC)_4Re - NR - P(Cl)(NR_2) - NR]$ (2), R = SiMe₃, ergibt die tricyclische Phosphor-Dispiroverbindung 3, den cubanartigen Rheniumkomplex $[Re_2(CO)_6(\mu_3-NR)_4(\mu_3-PNR)_2]$ (4) sowie den tetracyclischen Rheniumkomplex 5. Beim Versuch, 3 aus $RN - P(NR)(NR_2) - NR - P(NR)(NR_2)$ (7), R = SiMe₃, und $[Re(CO)_5X]$ bzw. $[(OC)_4ReX]_2$ (X = Cl, Br) herzustellen, bildeten sich die Komplexsalze $[RN - (RN)(RHN)P - NR - P - NR - SiMe_2 - NR]^{\oplus} [Re_2(CO)_6(\mu-X)_3]^{\ominus}$ (6a, X = Cl; 6b, X = Br). 3, 5 und 6a wurden durch eine Röntgenstrukturanalyse charakterisiert.

Unter den fünfbindigen Phosphorverbindungen der Koordinationszahl drei (σ^3,λ^5-P)²⁾ weist [Bis(trimethylsilyl)-amino]bis(trimethylsilylimino)phosphoran (1) die vielseitigsten Ligandeneigenschaften auf³⁾. So ergibt z. B. die Addition von $[Re(CO)_5Cl]$ an 1 den Vierring-Chelat-Komplex $[(OC)_4Re - NR - P(Cl)(NR_2) - NR]$ (2)⁴⁾, der seinerseits einen idealen Baustein für die Synthese von polycyclischen Rhenium(I)-Komplexen mit nur heteroatomhaltigen Chelatliganden⁵⁾ darstellt.

Thermolyse von $[(OC)_4Re - NR - P(Cl)(NR_2) - NR]$ (2), R = SiMe₃

Erhitzt man 2 in Substanz auf 110°C, dann kann man nach 4 h ³¹P-NMR-spektroskopisch die Komplexe 3, 4 und 5 nachweisen und durch fraktionierende Kristallisation trennen. Die Phosphor-Dispiroverbindung 3 bildet farblose Plättchen (Ausb. ca. 7%), die sich in Lösung (Ether, Toluol) innerhalb weniger Tage zersetzen. Die wenig luftempfindlichen Kristalle des tetracyclischen Rhenium-Zweikernkomplexes 5 (Ausb. ca. 30%) sind in Dichlormethan löslich. Die extrem empfindlichen Kristalle der cubanartigen Rheniumverbindung 4 (Ausb. ca. 25%) lösen sich sehr gut in den gängigen aprotischen Lösungsmitteln.

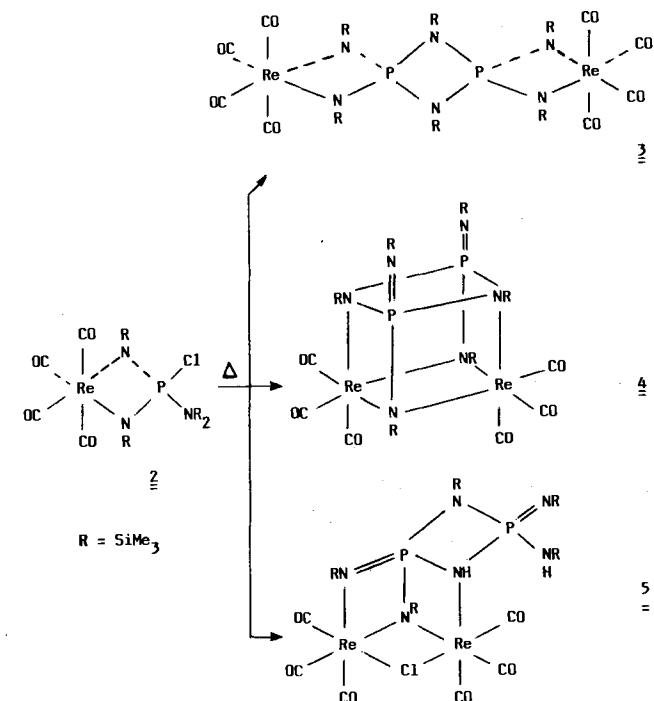
Ein spirocyclischer Phosphor-Stickstoff-Vierring wurde erstmals 1964 von Becke-Goehring et al.^{6a)} bei der Umsetzung von PCl_5 mit $MeNH_3Cl$ erhalten und durch eine Kristallstrukturanalyse^{6b)} als $MeN - PCl_3 - NMe - PCl - NMe - PCl(NMe) - NMe - PCl_3 - NMe$ charakterisiert.

Im Gegensatz zu der großen Anzahl von cubanartigen Verbindungen der Zusammensetzung M_4A_4 (M = Über-

Element-Organic Amine/Imine Compounds, XXVIII¹⁾. —
Polycyclic Phosphorus-Nitrogen Rhenium(I) Complexes

The thermolysis of $[(OC)_4Re - NR - P(Cl)(NR_2) - NR]$ (2), R = SiMe₃, affords the tricyclic phosphorus dispiro compound 3, the cubanelike rhenium complex $[Re_2(CO)_6(\mu_3-NR)_4(\mu_3-PNR)_2]$ (4) as well as the tetracyclic rhenium complex 5. The attempt to synthesize 3 from $RN - P(NR)(NR_2) - NR - P(NR)(NR_2)$ (7), R = SiMe₃, and $[Re(CO)_5X]$ or $[(OC)_4ReX]_2$ (X = Cl, Br), gave the ionic species $[RN - (RN)(RHN)P - NR - P - NR - SiMe_2 - NR]^{\oplus} [Re_2(CO)_6(\mu-X)_3]^{\ominus}$ (6a, X = Cl; 6b, X = Br). 3, 5 and 6a have been characterized by an X-ray structure analysis.

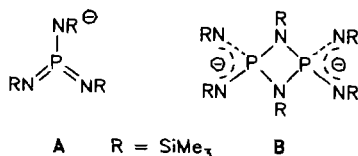
gangsmetall-Komplexfragment, A = Ligand) kennt man nur wenige Vertreter des Typs $M_4A_2B_2$ [z. B. $M_4F_2(OH)_2$ ⁷⁾]. Cubanartig aufgebaute Moleküle mit ausschließlich Hauptgruppenelementen als Gerüstbausteinen (z. B. Sn – N- und Ge – N^{8a)}, Sn – B – N^{8b)}, P – N^{8c,d)}, Li – Br – C^{8e)} und Li – Na – N-Verbindungen^{8f)} sind ebenfalls eine Rarität.



Denkt man sich bei $R_2N - P(=NR)_2$ (1), R = SiMe₃, eine Gruppe R am Aminstickstoffatom entfernt, dann erhält man formal A, ein Derivat des monomeren Metaphosphat-Ions (vgl. dazu die kristallstrukturanalytisch charakterisierten Ionen $[P(=C\backslash)_3]^{\ominus}$ ^{9a)} und PS_3^{\ominus} ^{9b)}), das formal mit sich

^{†)} Röntgenstrukturanalyse.

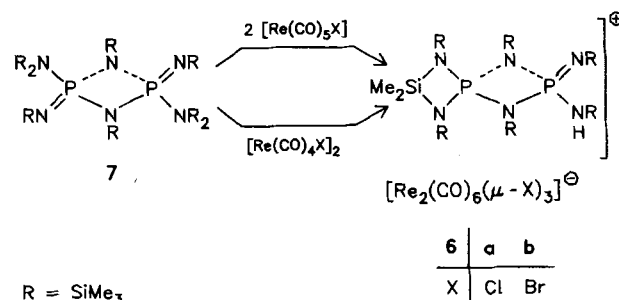
selbst in einer [2 + 2]-Cycloaddition das Dimere **B**, einen mehrzähnigen Komplexliganden, ergeben könnte (vgl. dazu z. B. $\text{Ag}_2[\text{P}_2\text{S}_6]^{10a}$, $\text{Tl}_2[\text{P}_2\text{S}_6]^{10b}$ sowie $[\text{Et}_3\text{NH}]_2[\text{S}_2\text{P}-\text{NR}-\text{PS}_2-\text{NR}]^{10c}$).



In **3** und **4** fungiert das Dianion **B** als 8e- bzw. 12e-Donor-Ligand gegenüber Rhenium(I).

Für die Bildung der Polycyclen **3**–**5** kann folgender Reaktionsverlauf diskutiert werden: a) Bildung des Dispirokomplexes **3** aus **2** unter vermutlich intermolekulärer Me_3SiCl -Abspaltung. b) Thermische CO-Eliminierung bei **3** unter Bildung des cubanartigen Komplexes **4**. c) Reaktion von **4** mit zwei Mol HCl (wahrscheinlich entstanden durch HCl-Eliminierung in **2**, vgl. hierzu Lit.¹¹⁾) unter Me_3SiCl -Abspaltung und Bildung des Tetracyclus **5**. Dieser Reaktionsmechanismus wird durch die Tatsache gestützt, daß

isoliertes **3** thermisch in **4** (${}^3\text{P}$ -NMR-Reaktionskontrolle) übergeführt wird (was gleichzeitig dessen geringe Ausbeute erklären kann) und Me_3SiCl ${}^1\text{H}$ -NMR-spektroskopisch zweifelsfrei (identischer Zusatz) nachgewiesen werden kann. Versuche, das elektronenreiche, mehrzähnige Liganden-System $[\text{P}_2(\text{NSiMe}_3)_6]^{2-}$ (**B**) ausgehend von **7** und $[\text{Re}(\text{CO})_5\text{X}]$ bzw. $[(\text{OC})_4\text{ReX}]_2$ ($\text{X} = \text{Cl}, \text{Br}$) durch Cothermolysen in Toluol herzustellen, führten nicht zu **3** (${}^3\text{P}$ -NMR-Kontrolle), sondern zu den ionisch aufgebauten Verbindungen **6a, b**, die in Dichlormethan gut löslich und in fester Form kurzfristig luftstabil sind.



Tab. 1. ${}^1\text{H}$ -, ${}^{13}\text{C}\{{}^1\text{H}\}$ -, ${}^{31}\text{P}\{{}^1\text{H}\}$ -NMR- und $\nu(\text{CO})$ -IR-Daten der Komplexe **3**–**6**; δ in ppm, J in Hz; ν in cm^{-1}

Nr.	${}^1\text{H}$ -NMR a)		${}^{13}\text{C}\{{}^1\text{H}\}$ -NMR b)		${}^{31}\text{P}\{{}^1\text{H}\}$ -NMR c)		ν
	$\delta \text{ CH}_3\text{Si}$	$\delta \text{ CH}_3\text{Si}$	$\delta \text{ CO}$	$\delta \text{ P}$			
3	0.58(s,18H), 0.59(s,36H)		3.12(s,6C) 6.13(s,12C)	184.9(s,4C) 187.8(s,4C)	-1.93(s)	2095(w), 1985(s) 1965(m), 1935(s)	
4	0.34(s,18H), 0.62(s,18H) 0.77(s,18H)		2.56(s,6C), 4.03(s,6C) 5.87(s,6C)	193.5(s,4C) 194.7(s,2C)	-8.31(s)	2040(m), 2020(s) 1870(m,br), 1820(vs,br)	
5	353 K: 0.17(s,9H), 0.21(s,18H) 0.50(s,18H) 203 K: 0.19(s,3H), 0.21(s,3H) 0.39(s,3H), 0.26(s,9H) 0.30(s,9H), 0.35(s,18) δ NH(353 K): 2.64(br,2H) 203 K: 2.47(d, ¹ H; ² J(³¹ P ¹ H)4 2.65(d, ¹ H; ² J(³¹ P ¹ H)6.5		233 K: 0.33(s,6C), 0.74(s,3C) 1.76(s,3C), 2.63(s,2C)	192.8(s,1C), 194.6(s,1C) 194.7(s,1C), 195.2(s,1C) 4.43(s,1C)	293 K: 30.11(s) 273 K: 1920(s,br), 1880(vs,br) 195.5(s,1C), 196.1(s,1C)	2030(s), 2020(s) 30.1(d,1P) 3350-3450(br,vNH) 30.6(d,1P) ² J(³¹ P ³¹ P)17 ³¹ P- ¹ H-gekoppelt 31.7(d,1P) 29.9(ddd) ² J(³¹ P ³¹ P)17.3 ² J(³¹ P ¹ H)~ ² J(³¹ P ¹ H')~5	
6a $X = \text{Cl}$	0.09(s,9H), 0.29(s,9H) 0.36(s,9H), 0.39(s,9H) 0.40(s,18H), 0.69(s,6H,5 <i>i</i> Me_2) δ NH: 2.29(br,1H)		0.85(s,6C), 1.11(s,3C) 1.55(s,6C), 1.82(s,3C) δ SiMe ₂ : 3.08(s,1C) 3.76(s,1C)	193.4(s,6C) 192.6(s,6C) 2.60(s,1C) 3.27(s,1C)	-44.17(d, ¹ $\lambda^5\text{P}$) 1910(s,br), 2023(s) 7.79(d, ¹ $\lambda^4\text{P}$) 3380-3450(br,vNH) ² J(³¹ P ³¹ P)4.2		
6b $X = \text{Br}$	0.02(s,9H), 0.22(s,9H) 0.28(s,9H), 0.31(s,9H) 0.33(s,18H), δ 5 <i>i</i> Me_2 : 0.61(s,3H), 0.62(s,3H) δ NH: 2.28(br,1H)		0.40(s,6C), 0.67(s,6C) 1.11(s,6C) δ SiMe ₂ : 2.60(s,1C) 3.27(s,1C)	192.6(s,6C) 192.6(s,6C) 2.60(s,1C) 3.27(s,1C)	-44.24(d, ¹ $\lambda^5\text{P}$) 1920(s,br), 2018(s) 7.97(d, ¹ $\lambda^4\text{P}$) 3375-3445(br,vNH) ² J(³¹ P ³¹ P)4.1		

a) 200 MHz, TMS int. $\frac{1}{2}$ (363 K), $\frac{1}{2}$ [D_8]Toluol, $\frac{1}{2}$ und $\frac{1}{2}$ CD_2Cl_2 .- b) 50.28 MHz, TMS int. $\frac{1}{2}$ (303 K), $\frac{1}{2}$ [D_8]Toluol, $\frac{1}{2}$ und $\frac{1}{2}$ CD_2Cl_2 .-
c) 80.82 MHz, 85-proz. H_3PO_4 ext. $\frac{1}{2}$ und $\frac{1}{2}$ [D_8]Toluol, $\frac{1}{2}$ und $\frac{1}{2}$ CD_2Cl_2 .- d) $\frac{1}{2}$ Toluol, $\frac{1}{2}$ und $\frac{1}{2}$ CH_2Cl_2 .

Die konduktometrisch bestimmte molare Leitfähigkeit der Salze **6a,b** liegt mit 79.9 (**6a**) bzw. 74.5 (**6b**) [$\text{S} \cdot \text{cm}^2 \cdot \text{mol}^{-1}$] im erwarteten Bereich (vgl. dazu Lit.^{4,12)}.

NMR-Spektren

Die NMR-spektroskopischen Daten der Polycyclen **3–6** sind in Tab. 1 zusammengestellt.

Im ^1H -NMR-Spektrum von **3** findet man bei 363 K zwei Silylsignale (18H:36H), deren Intensitätsschwächeres (Tab. 1) den Me_3Si -Gruppen am P_2N_2 -Ring zuzuordnen ist. Bei Temperaturniedrigung zeigen diese beiden Me_3Si -Gruppen dynamisches Verhalten ($T_c = 253$ K, das Tieftemperaturgrenzspektrum konnte nicht erreicht werden; das gleiche gilt für das ^{13}C -NMR-Spektrum). Das ^{31}P -NMR-Signal ist gegenüber dem des Eduktes **2** ($\delta = 15.1$) um ca. 17 ppm hochfeldverschoben.

Im ^1H -NMR-Spektrum des cubanartigen Rhenium-Komplexes **4** findet man erwartungsgemäß drei intensitätsgleiche Signalsätze (Tab. 1). Das leicht hochfeldverschobene Singulett bei 0.34 ppm kann den exocyclischen Me_3Si -Gruppen zugeordnet werden, da temperaturabhängige Messungen für die übrigen Silylgruppen bei Temperaturniedrigung (Signal bei 0.62 ppm, $T_c = 228$ K, $\Delta G_{T_c}^\ddagger = 48.4$ [kJ/mol]; Signal bei 0.77 ppm, $T_c = 263$ K, $\Delta G_{T_c}^\ddagger = 52.6$ [kJ/mol]) eine Rotationsbehinderung um die Si–N-Bindung (Aufspaltungsmuster vom Integralverhältnis 2:1) zeigen. Die ^{13}C -NMR-Untersuchungen bestätigen die ^1H -NMR-Befunde. Im ^{31}P -NMR beobachtet man gegenüber **3** eine noch stärkere Hochfeldverschiebung.

Das ^1H -Tieftemperatur-NMR-Spektrum (203 K) des Te-tracyclus **5** ergibt sechs Singulets (Tab. 1) vom Integralverhältnis 3:3:3:9:9:18, von denen das intensitätsstärkste Signal (18H) den äquivalenten Me_3Si -Gruppen an den exocyclischen N-Atomen des P-Atoms P2 (vgl. dazu Diskussion der Kristallstruktur) zugeordnet werden kann. Eine der drei restlichen Me_3Si -Gruppen weist bei 203 K eine Rotationsbehinderung um die Si–N-Bindung (Integralverhältnis 1:1:1) auf. P–NH-Kopplungen (Tab. 1) werden nur zu einem Phosphoratom (P2) beobachtet. Temperaturerhöhung führt zunächst zur Verbreiterung der NH-Signale und fast gleichzeitig zur Aufhebung der N–Si-Rotationsbehinderung. Letztlich ergeben sich im ^1H -NMR-Spektrum bei 353 K neben einem breiten Signal der NH-Protonen drei Me_3Si -Signale (Tab. 1) vom Integralverhältnis 1:2:2. Eine befriedigende Deutung dieser offensichtlich sehr komplexen dynamischen Prozesse (Verdünnungsexperimente ergeben keinen Hinweis auf intermolekulare Prozesse) kann bislang nicht gegeben werden. Das Tieftemperatur- ^{13}C -NMR-Spektrum bestätigt das Vorliegen einer unsymmetrischen Struktur durch sechs CO-Signale (gegenüber Edukt **2** tieffeldverschoben) sowie fünf Me_3Si -Signale (zwei Methylgruppen der rotationsbehinderten Me_3Si -Gruppe sind zufällig magnetisch äquivalent, Tab. 1). Temperaturabhängige ^{13}C -NMR-Untersuchungen können aufgrund der geringen Signalintensität keine zusätzlichen Informationen über die dynamischen Eigenschaften von **5** liefern.

Im ^1H -NMR-Spektrum der ionisch aufgebauten Komplexe **6a,b** sind die vier Ring-N– SiMe_3 -Gruppen inäqui-

valent, die exocyclischen dagegen äquivalent (1,3-Wanderung des H-Atoms, Tab. 1; vgl. dazu auch Kristallstrukturanalyse von **6a**). Das Signal der SiMe_2 -Einheit ist bei beiden Verbindungen geringfügig tieffeldverschoben. Im Falle von **6a** beobachtet man für die zwei Methylgruppen zufällige magnetische Äquivalenz. Das NH-Proton-Signal ist in beiden Fällen breit. Das ^{31}P -NMR-Dublettsignal bei tieferem Feld (Tab. 1) wird jeweils dem Spirophosphoratom ($\lambda^4\text{P}$) zugeordnet.

Kristall- und Molekülstruktur der Polycyclen **3, 5 und 6a**¹³⁾

Die Atomabstände und Bindungswinkel sind in den Tabellen 2–4, die Atomkoordinaten und Temperaturfaktoren in den Tabellen 5–7 zusammengefaßt.

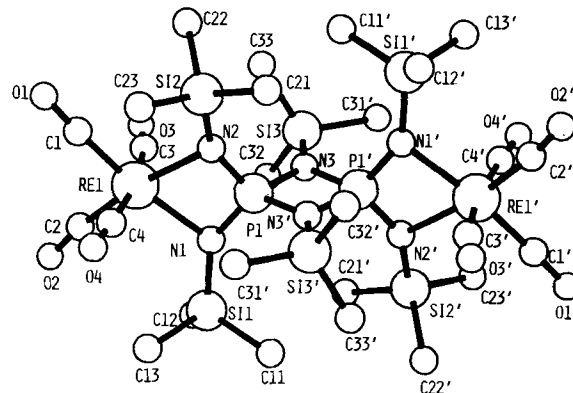


Abb. 1. Molekülstruktur von **3** (Molekül a) mit Atomnumerierung

Tab. 2. Ausgewählte Bindungsabstände und -winkel von **3**, Molekül a (Molekül b in Klammern)

Bindungsabstände (pm)	
Re1–N1	220.7(6) (223.1(6))
Re1–N2	224.0(5) (220.9(6))
P1–N1	158.6(6) (159.7(6))
P1–N2	156.6(6) (159.3(6))
P1–N3	170.6(6) (172.3(6))
Si11–N1	174.7(6) (173.1(6))
Si2–N2	175.6(6) (174.3(5))
Si3–N3	177.6(6) (176.1(6))

Bindungswinkel (°)	
N1–Re1–N2	66.3(2) (67.2(2))
N1–Re1–C1	169.5(3) (169.5(3))
N1–Re1–C2	103.5(3) (101.9(3))
N1–Re1–C3	96.7(3) (97.3(3))
N1–Re1–C4	91.6(3) (92.6(3))
N2–Re1–C1	103.3(3) (102.3(3))
N2–Re1–C2	169.7(3) (169.0(3))
N2–Re1–C3	97.1(3) (97.6(3))
N2–Re1–C4	92.2(3) (92.4(3))
C3–Re1–C4	169.5(4) (168.1(4))
C–Re1–C	86.3(4) (86.3(4))

Ebene	definierende Atome	1	3
1	N1 Re1 N2 P1	2	90.4
2	P1 N3 P1' N3'		(89.9)
3	N1 Re1 N2	4	167.8
4	N1 P1 N2		(165.8)

Die Molekülstruktur der tricyclischen Phosphor-Dispiroverbindung **3** ist mit den zugehörigen Atomnumerierungen in Abb. 1 aufgezeigt.

3 weist in der Elementarzelle zwei unabhängige Moleküle **a** und **b** auf, die sich in ihren Abständen und Winkeln nicht signifikant unterscheiden (bei der Diskussion beziehen sich die Werte in Klammern auf Molekül **b**). Der zentrosymmetrische Komplex **3** hat als zentrales Strukturelement ein dispirocyclisches Ligandsystem mit fast linearer Anordnung der Rhenium- und Phosphoratome. Der N_2P_2 -Vierring ist planar, die PN_2Re -Vierringe sind an der $N \cdots N$ -Achse schwach geknickt [Knickwinkel 167.8° (165.8°)]. Der Interplanarwinkel zwischen den Ebenen 1 und 2 beträgt 90.4° (89.9°), der zwischen den Ebenen 3 und 4 167.8° (165.8°). Die Koordinationsgeometrie der Rheniumatome ist verzerrt oktaedrisch (Tab. 2) mit erwartungsgemäß deutlich verkleinerten $N - Re - N$ -Winkeln von $66.3(2)^\circ$ [$67.2(2)^\circ$]. Die Winkel zwischen den apicalen CO-Gruppen und basalen N-Atomen sind möglicherweise aufgrund der sterisch anspruchsvollen Me_3Si -Reste etwas aufgeweitet. Die Phosphoratome sind jeweils von vier Stickstoffatomen verzerrt tetraedrisch umgeben. Im Tricyclus **3** fungiert das Ligandsystem **B** als 8e-Donor gegenüber den beiden $(OC)_4Re(I)$ -Einheiten, woraus folgende Bindungsverhältnisse resultieren: die $P - N$ -Abstände für die „terminalen“ N-Atome (N1, N2) sind mit $158.6(6)$ und $156.6(6)$ pm [$159.7(6)$, $159.3(6)$ pm] gegenüber denen der zentralen Brücken-N-Atome (N3) $170.6(6)$ pm [$172.3(6)$ pm] deutlich verkürzt, was aufgrund des delokalisierten π -Bindungssystems bei **B** verständlich ist. Die Bindungswinkel im zentralen Vierring betragen $85.3(3)^\circ$ [$85.9(3)^\circ$] am Phosphor- und $94.7(3)^\circ$ [$94.1(3)^\circ$] am Stickstoffatom und sind gegenüber den $N1 - P1 - N2$ -Winkeln $100.9(3)^\circ$ [$100.8(3)^\circ$] verkleinert, ein Trend, der sich mit den Strukturdaten des Hexathiometadiphosphat-Ions (z. B. Lit.^{10a,b)} deckt und somit für den Dianiontyp $[P_2X_6]^{2-}$ ($X = S, NSiMe_3$, **B**) eine nicht unerwartete Analogie erkennen lässt.

Die Molekülstruktur des tetracyclischen Rhenium-Komplexes **5** ist mit den zugehörigen Atomnumerierungen in Abb. 2 aufgezeigt.

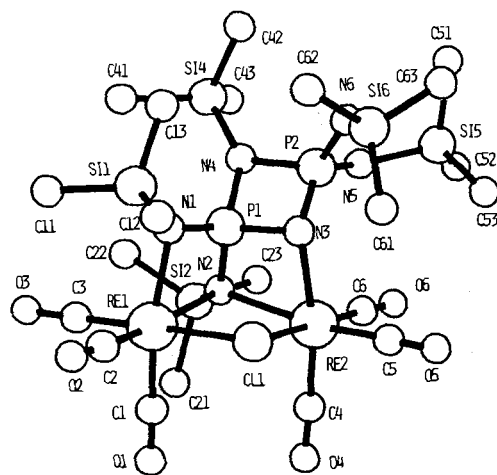


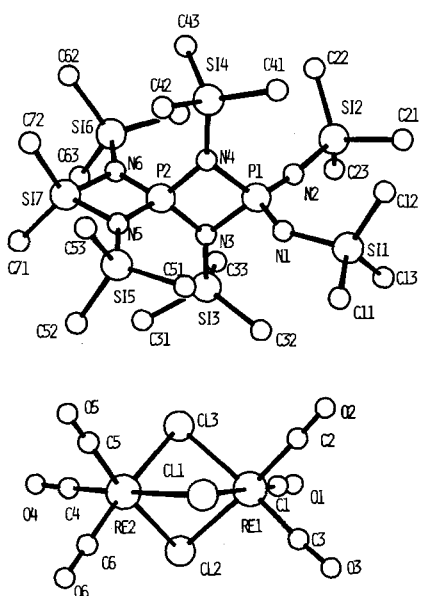
Abb. 2. Molekülstruktur von **5** mit Atomnumerierung

Tab. 3. Ausgewählte Bindungsabstände und -winkel von **5**

Bindungsabstände (pm)					
Re1-C11	252.1(3)	P1-N1	156.8(9)	Si4-N4	176.7(9)
Re2-C11	252.1(4)	P1-N2	165.3(8)	Si5-N5	179.3(9)
Re1-N1	221.9(9)	P1-N3	167.9(8)	Si6-N6	179.6(9)
Re1-N2	231.6(10)	P1-N4	171.1(8)	Re1...Re2	364.2(5)
Re2-N2	230.6(8)	P2-N3	163.4(9)	P1...P2	239.3(8)
Re2-N3	217.6(8)	P2-N4	171.3(9)	N1...N2	253.5(15)
Re1-C-Mittelw.	186.8(15)	P2-N5	161.1(9)	N2...N3	254.4(15)
Re2-C-Mittelw.	188.1(13)	P2-N6	162.2(9)	N3...N4	236.9(15)
Si-C-Mittelw.	188.4(13)	Si1-N1	173.1(10)	N5...N6	258.5(15)
C-O-Mittelw.	115.9(14)	Si2-N2	176.1(8)		
Bindungswinkel (°)					
C11-Re1-N1	86.8(3)	N2-Re2-N3	69.1(3)	N4-P2-N6	118.8(5)
C11-Re1-N2	80.0(2)	N2-Re2-C4	101.2(5)	N5-P2-N6	106.1(5)
C11-Re1-C1	88.3(4)	N2-Re2-C5	169.5(4)	Re1-N1-P1	95.2(5)
C11-Re1-C2	93.7(5)	N2-Re2-C6	101.9(5)	Re1-N1-Si1	122.5(5)
C11-Re1-C3	178.2(5)	N3-Re2-C4	168.2(5)	P1-N1-Si1	139.8(6)
N1-Re1-N2	67.9(3)	N3-Re2-C5	101.0(4)	Re1-N2-Re2	104.0(4)
N1-Re1-C1	169.0(5)	N3-Re2-C6	99.8(4)	Re1-N2-P1	89.4(4)
N1-Re1-C2	103.6(5)	C4-Re2-C5	88.1(5)	Re1-N2-Si2	114.5(5)
N1-Re1-C3	94.5(5)	C4-Re2-C6	88.7(6)	Re2-N2-P1	93.0(4)
N2-Re1-C1	101.6(5)	C5-Re2-C6	83.0(6)	Re2-N2-Si2	121.3(4)
N2-Re1-C2	169.5(6)	Re1-C11-Re2	92.5(1)	P1-N2-Si2	128.2(6)
N2-Re2-C3	101.6(5)	N1-P1-N2	103.8(5)	Re2-N3-P1	97.0(4)
C1-Re1-C2	86.5(6)	N1-P1-N3	125.0(5)	Re2-N3-P2	131.9(5)
C1-Re1-C3	90.6(6)	N1-P1-N4	116.0(5)	P1-N3-P2	92.5(4)
C2-Re1-C3	84.8(7)	N2-P1-N3	99.5(4)	P1-N4-P2	88.7(4)
C11-Re2-N2	80.2(3)	N2-P1-N4	124.2(3)	P1-N4-Si4	142.7(5)
C11-Re2-N3	80.2(2)	N3-P1-N4	88.7(4)	P2-N4-Si4	128.6(5)
C11-Re2-C4	91.6(4)	N3-P2-N4	90.1(4)	P2-N5-Si5	132.3(6)
C11-Re2-C5	94.8(5)	N3-P2-N5	121.6(5)	P2-N6-Si6	132.5(6)
C11-Re2-C6	177.7(4)	N3-P2-N6	111.4(5)	Re-C-O-Mittelw.	177(1)

Die Winkel zwischen den Ebenen $P1 - N3 - Re2 - N2$, $P1 - N1 - Re1 - N2$ und $Re1 - N2 - Re2 - Cl1$ betragen 68.03° , 88.57° und 94.57° und ergeben für dieses Gerüst einen geöffneten, deutlich verzerrten Kubus. Die Koordinationsgeometrie der Re-Atome ist verzerrt oktaedrisch, die der P-Atome verzerrt tetraedrisch (Tab. 3). Im Gegensatz zu den trigonal-planar koordinierten Atomen N1 und N4 (Winkelsumme 357.5 bzw. 360°) liegt die Winkelsumme von N3 (321.4°) und N2 (z. B. 307.9°) im Bereich tetraedrischer Koordination. Vierter Bindungspartner an N3 ist ein röntgenstrukturanalytisch nicht lokalisierbares H-Atom. Die Abstände $P2 - N5$ und $P2 - N6$ sind annähernd gleich und liegen mit Werten von $161.1(9)$ pm bzw. $162.2(9)$ pm im Bereich zwischen P–N-Einfach- und -Doppelbindungsängen; ein Befund, der auf eine intramolekulare $3z2e$ -N5 – H – N6-Bindung hinweist. Der Abstand N5...N6 liegt mit $258.5(15)$ pm unterhalb der Summe der van-der-Waals-Radien (300 pm) und damit in einem Bereich, der eine Dreizentrenbindung möglich erscheinen lässt (vgl. dazu Lit.¹⁴⁾). Der P_2N_2 -Vierring ist nahezu eben, die größte Abweichung von der Ausgleichsebene beträgt 1.2 pm. Der $P1 - N1$ -Abstand liegt mit $156.8(9)$ pm im Bereich von P–N-Doppelbindungsängen; alle übrigen P–N-Abstände weisen keine Besonderheiten auf. Der $Re1 \cdots Re2$ -Abstand von $364.2(5)$ pm ist deutlich größer als eine Re–Re-Einfachbindung (vgl. dazu Lit.¹⁵⁾).

Abb. 3 gibt die Molekülstruktur des Komplexsalzes **6a** wieder.

Abb. 3. Molekülstruktur von **6a** mit AtomnumerierungTab. 4. Ausgewählte Bindungsabstände und -winkel von **6a**

Bindungsabstände (pm)					
Kation:			Anion:		
P1-N1	163.9(3)	Si3-N3	177.1(3)	Re1-C11	249.8(1)
P1-N2	148.7(3)	Si4-N4	177.0(3)	Re1-C12	250.0(1)
P1-N3	174.1(3)	Si5-N5	176.8(3)	Re1-C13	249.2(1)
P1-N4	173.6(3)	Si6-N6	177.5(3)	Re2-C11	251.5(1)
P2-N3	163.6(3)	Si7-N5	177.4(3)	Re2-C12	250.4(1)
P2-N4	164.8(3)	Si7-N6	177.6(3)	Re2-C13	249.8(1)
P2-N5	163.9(3)	P1...P2	246.6(3)	C-O-Mittelw.	188.6(6)
P2-N6	162.6(3)	P2...Si7	245.4(3)	C-O-Mittelw.	114.2(6)
Si1-C-Mittelw.	187.1(5)	N3...N4	231.0(4)	Re1...Re2	336.3(5)
Si1-N1	177.4(3)	N5...N6	235.9(4)		
Si2-N2	169.1(4)				
Bindungswinkel (°)					
Kation:			Anion:		
N1-P1-N2	115.5(2)	P1-N2-Si2	172.7(3)	C11-Re1-C1	173.0(2)
N1-P1-N3	107.1(2)	P1-N3-P2	93.8(2)	C12-Re1-C2	173.6(2)
N1-P1-N4	107.1(2)	P1-N3-Si3	130.5(2)	C13-Re1-C3	174.1(2)
N2-P1-N3	118.5(2)	P2-N3-Si3	135.2(2)	C11-Re2-C4	172.9(2)
N2-P1-N4	120.6(2)	P1-N4-P2	93.5(2)	C12-Re2-C5	172.6(2)
N3-P1-N4	83.3(2)	P1-N4-Si4	131.1(2)	C13-Re2-C6	175.2(2)
N3-P2-N4	89.4(2)	P2-N4-Si4	135.2(2)	Re1-C11-Re2	84.26(4)
N3-P2-N5	119.6(2)	P2-N5-Si5	139.2(2)	Re1-C12-Re2	84.44(4)
N3-P2-N6	120.2(2)	P2-N5-Si7	91.8(2)	Re1-C13-Re2	84.74(4)
N4-P2-N5	119.2(2)	Si5-N5-Si7	128.9(2)	C1-Re-Cl-Mittelw.	79.66(4)
N4-P2-N6	118.7(2)	Si6-N6-Si7	129.9(2)	C1-Re-C-Mittelw.	95.4 (2)
N5-P2-N6	92.5(2)	P2-N6-Si6	137.8(2)	C-Re-C-Mittelw.	90.62(2)
P1-N1-Si1	133.5(2)	P2-N6-Si7	92.2(2)	Re-C-O-Mittelw.	177.7 (5)
Winkel zwischen definierten Ebenen (°)					
Ebene	definierende Atome			2	4
1	P1	N3	P2	N4	1 129.57
2	P1	N3	Re2	N2	3 68.03 88.57
3	P1	N1	Re1	N2	4 94.57
4	Re1	N2	Re2	C11	

Das spirocyclische Kation des Komplexes **6a** besteht aus zwei nahezu planaren, senkrecht aufeinander stehenden Vierringen (Interplanarwinkel 89.55°). Die Koordinations-

geometrie der Atome P1, P2 und der Siliciumatome ist verzerrt tetraedrisch (Tab. 4), die der Stickstoffatome N3, N4, N5 und N6 (Winkelsummen 359.5°, 359.8°, 359.9° und 359.9°) trigonal-planar. Der P1—N1-Abstand von 163.9(3) pm lässt auf ein kristallstrukturanalytisch nicht nachweisbares H-Atom an N1 schließen. Bemerkenswert ist die fast lineare Anordnung der exocyclischen $\text{Me}_3\text{Si}-\text{N}=\text{P}$ -Einheit ($\text{P1}-\text{N}2-\text{Si}2$ 172.7(3)°), die mit einer starken Verkürzung des $\text{P1}-\text{N}2$ - (148.7(3) pm) und des $\text{N}2-\text{Si}2$ -Abstandes (169.1(4) pm) verbunden ist (vgl. dazu Lit.¹⁶). Diese Strukturdaten stützen eine von Pohl aufgestellte annähernd lineare Beziehung zwischen einer Verkürzung des $\text{P}=\text{N}$ -Abstandes unter gleichzeitiger Aufweitung des Winkels am Imin-Stickstoff bei acyclischen Phosphazenen mit „lokalisierter“ $\text{P}=\text{N}$ -Bindung^{17a}. Ähnliche Verhältnisse mit einer unterschiedlich stark gewinkelten Stickstoffbrücke liegen in Verbindungen des Typs $\text{R}_3\text{P}=\text{NSiR}'_3$ ($\text{R} = \text{R}' = \text{Me}; \text{P}=\text{N}$ 154.2(5) pm, $\text{N}-\text{Si}$ 170.5(5) pm, $\text{P}=\text{N}-\text{Si}$ 144.6(1)^{17b}) und $\text{R}_2\text{Si}=\text{N}-\text{SiR}'_3$ (z. B. $\text{R} = \text{R}' = t\text{Bu}; \text{Si}=\text{N}$ 156.8(3) pm, $\text{N}-\text{Si}$ 169.5(3) pm, $\text{Si}=\text{N}-\text{Si}$ 177.8(2)^{17c}) vor (vgl. zu dieser Gesamtproblematik auch die Untersuchungen an $\text{Si}-\text{O}-\text{Si}$ -Systemen^{17d}). Die Strukturdaten des Hexacarbonyl-tri- μ -chloro-dirhenat(I)-Anions (Tab. 4) stimmen im wesentlichen mit den Literaturdaten^{18a,b} überein. Der Re1…Re2-Abstand (336.3(5) pm) liegt in einem Bereich, der eine Metall-Metall-Wechselwirkung wenig wahrscheinlich erscheinen lässt.

Dem Verband der Chemischen Industrie danken wir für die finanzielle Unterstützung.

Experimenteller Teil

Sämtliche Versuche wurden in einem Schlenk-Rohr unter Argon in absol. Lösungsmitteln durchgeführt. — ^1H -, $^{13}\text{C}\{\text{H}\}$ -, $^{31}\text{P}\{\text{H}\}$ - und temperaturabhängige Spektren: FT-Gerät WP 200, Firma Bruker. Hochfeldverschiebung bedeutet negativer Wert. Die Kopplungskonstanten sind in Hertz ohne Berücksichtigung der absoluten Vorzeichen angegeben. — IR-Spektren: Perkin-Elmer-297-Spektrometer. — Massenspektren: Varian-MAT 811 A. Relative Molmassen: Osmometrisch in CH_2Cl_2 .

Ausgangsmaterialien: ¹⁹, $[\text{Re}(\text{CO})_5\text{X}]$, $\text{X} = \text{Cl}, \text{Br}$ ²⁰, $[\text{Re}(\text{CO})_4\text{X}]_2$, $\text{X} = \text{Cl}, \text{Br}$ ²¹, ⁷²².

$(\text{OC})_4\text{Re}-\text{NR}-\text{P}(\text{Cl})(\text{NR}_2)-\text{NR}$ (**2**), $\text{R} = \text{SiMe}_3$: 4370 mg (11.9 mmol) **1**, gelöst in 60 ml Benzol, werden mit 3310 mg (9.2 mmol) $[\text{Re}(\text{CO})_5\text{Cl}]$ versetzt. Die Suspension wird unter Rühren solange auf 75 °C erwärmt, bis die Lösung klar wird (ca. 45 min). Anschließend wird bei dieser Temp. die hellgelbe Lösung 2 h weitergerührt. Nach Entfernen des Lösungsmittels im Ölumpenvak. wird der Rückstand in 15 ml *n*-Hexan aufgenommen. Es wird über Filterflocken filtriert, auf ca. die Hälfte eingeengt und 3 d auf –80 °C gekühlt. Nach Umkristallisieren aus *n*-Hexan bei –80 °C erhält man elfenbeinsarbene Kristalle. Ausb. 4826 mg (6.9 mmol, 75%).

$\text{C}_{16}\text{H}_{36}\text{ClN}_3\text{O}_4\text{PReSi}_4$ (699.4) Ber. C 27.48 H 5.19 N 6.01
Gef. C 27.40 H 5.02 N 6.10
Molmasse 655

Thermolyseprodukte **3**, **4** und **5**: 1049 mg (1.5 mmol) **2** werden in Substanz 4 h auf 110 °C erwärmt, wobei man entstehendes CO, Me_3SiCl und HCl — soweit nicht durch Weiterreaktion verbraucht — durch Anlegen eines Vakuums von ca. 12 Torr entfernt.

Durch Zugabe von 1 ml Diethylether läßt sich der tetracyclische Rheniumkomplex **5** als farbloses Pulver ausfällen, das – aus Dichlormethan/n-Hexan (3:1) bei 5°C umkristallisiert – 249 mg (0.23 mmol, 30%) ergibt. Die Etherlösung wird i. Vak. vollständig eingeengt und der Rückstand – aufgenommen in 0.5 ml Toluol – bei –20°C (2 d) umkristallisiert. Ausb. 129 mg Dispiroverbindung **3** (0.11 mmol, 7%). Nach Entfernen des Toluols i. Vak. wird der cubanartige Komplex **4** durch Lösen des Rückstandes in 0.5 ml Diethylether und Kühlen auf –80°C (2 d) als weißes Kristallpulver erhalten, das man erneut aus diesem Lösungsmittel bei –80°C umkristallisiert. Ausb. 206 mg (0.18 mmol, 24%). Die isolierten Produkte werden ca. 5 h bei 0.01 Torr getrocknet.

3: $C_{26}H_{54}N_6O_8P_2Re_2Si_6$ (1181.6) Ber. C 26.43 H 4.61 N 7.11
Gef. C 26.40 H 4.55 N 7.10

4: $C_{24}H_{54}N_6O_6P_2Re_2Si_6$ (1125.6) Ber. C 25.61 H 4.84 N 7.47
Gef. C 25.40 H 4.69 N 7.60

EI-MS (100 eV, 140°C): m/z (%) = 1126 (M^+ , 10), sukzessive Abspaltung der sechs CO-Liganden.

5: $C_{21}H_{47}ClN_6O_6P_2Re_2Si_5$ (1089.3) Ber. C 23.12 H 4.34 N 7.70
Gef. C 22.50 H 4.18 N 7.50
Molmasse 1198

Komplexsalze **6a, b**

a) Durch Umsetzung von **7** mit $[Re(CO)_5X]$, $X = Cl, Br$: 732 mg (1.0 mmol) **7** und 2.0 mmol $[Re(CO)_5X]$ ($X = Cl$, 723 mg; $X = Br$, 812 mg) werden in 20 ml Toluol 3.5 h bei 110°C gerührt. Während der Reaktion färbt sich die anfangs farblose Lösung orange; gleich-

zeitig fallen die Salze **6a** bzw. **6b** als dunkelbraune Öle aus. Die Reaktionslösung wird auf ca. 2 ml eingeengt und 1 d auf –80°C gekühlt. Abpipettieren der überstehenden Lösung und Versetzen des Öls mit 2 ml Diethylether ergibt **6a** bzw. **6b** als farblose Kristalle, die aus 1 ml heißem Toluol umkristallisiert werden. Ausb. 429 mg (0.33 mmol, 38%) **6a**, 524 mg (0.37 mmol, 37%) **6b**.

b) Durch Umsetzung von **7** mit $[(OC)_4ReX]_2$, $X = Cl, Br$: 732 mg (1.0 mmol) **7** und 1.0 mmol $[(OC)_4ReX]_2$ ($X = Cl$, 667 mg; $X = Br$, 756 mg) werden in 20 ml Toluol 3.5 h auf 110°C erhitzt. Aufarbeitung wie bei a). Ausb. 448 mg (0.35 mmol, 35%) **6a**, 546 mg (0.38 mmol, 38%) **6b**.

6a: $C_{26}H_{61}Cl_3N_6O_6P_2Re_2Si_7$ (1291.1) Ber. C 24.19 H 4.76 N 6.51
Gef. C 23.90 H 4.69 N 6.60
Molmasse 1171

6b: $C_{26}H_{61}Br_3N_6O_6P_2Re_2Si_7$ (1424.5) Ber. C 21.92 H 4.32 N 5.90
Gef. C 21.50 H 4.18 N 5.40
Molmasse 1328

Molare Leitfähigkeit (CH_2Cl_2 , 25°C, 10^{-5} mol · l⁻¹): **6a**: 79.86, **6b**: 74.50 [$S \cdot cm^2 \cdot mol^{-1}$].

Röntgenstrukturanalysen¹³⁾

3: $C_{26}H_{54}N_6O_8P_2Re_2Si_6$ · 3/2 C_7H_8 , Molmasse 1319.8, Enraf-Nonius-CAD-4-Vierkreisdiffraktometer, Mo-K_α-Strahlung, Graphitmonochromator, Kristallgröße 0.44 × 0.22 × 0.48 mm, $a = 1444.6(2)$, $b = 1769.7(4)$, $c = 1366.6(2)$ pm, $\alpha = 108.71(2)$, $\beta = 117.92(2)$, $\gamma = 72.55(2)$ °, $V = 2877(1) \cdot 10^6$ pm³, triklin, Raumgruppe

Tab. 5. Atomkoordinaten und Temperaturfaktoren [Å²] von **3** mit Standardabweichungen

Molekül a:					Molekül b:				
Atom	x/a	y/b	z/c	B _{eq} [*]	Atom	x/a	y/b	z/c	B _{eq} [*]
Re1	-0.5951(4)	0.01902(3)	0.18502(4)	3.40(1)	Re1	0.44654(4)	0.34856(3)	0.69047(4)	3.78(1)
P1	-0.0033(2)	0.0021(2)	0.4076(2)	2.69(8)	P1	0.4995(2)	0.4519(2)	0.9099(2)	2.93(8)
Si1	0.0544(3)	0.1640(2)	0.4185(3)	4.1 (1)	Si1	0.5049(3)	0.5360(2)	0.7407(3)	4.7 (1)
Si2	-0.0104(3)	-0.1695(2)	0.2407(3)	3.7 (1)	Si2	0.5515(3)	0.2686(2)	0.9272(3)	4.0 (1)
Si3	-0.2309(2)	0.0554(2)	0.4176(3)	3.7 (1)	Si3	0.2682(3)	0.5212(2)	0.9108(3)	4.1 (1)
O1	-0.1355(6)	-0.0896(5)	-0.0515(7)	6.2 (2)	O1	0.4125(7)	0.1720(5)	0.5910(7)	6.7 (2)
O2	-0.0869(6)	0.1588(5)	0.830(7)	6.6 (2)	O2	0.3758(7)	0.3692(5)	0.4495(8)	7.8 (3)
O3	-0.2998(6)	0.0829(5)	0.1194(6)	5.9 (2)	O3	0.2004(7)	0.3784(5)	0.6130(7)	7.2 (3)
O4	0.1695(6)	-0.0367(5)	0.1846(6)	5.9 (2)	O4	0.6694(7)	0.2821(5)	0.6856(8)	8.3 (3)
N1	0.0027(6)	0.0748(5)	0.3679(6)	3.1 (2)	N1	0.4832(6)	0.4704(4)	0.7953(6)	3.1 (2)
N2	-0.0275(6)	-0.0644(4)	0.2951(6)	3.1 (2)	N2	0.5033(6)	0.3564(5)	0.8736(6)	3.2 (2)
N3	-0.0907(6)	0.0227(4)	0.4678(6)	2.8 (2)	N3	0.4047(6)	0.5082(4)	0.9647(6)	2.7 (2)
C1	-0.1079(9)	-0.0461(7)	0.038(1)	5.0 (3)	C1	0.4259(9)	0.2395(7)	0.627(1)	5.3 (3)
C2	-0.076(1)	0.1027(7)	0.117(1)	6.3 (4)	C2	0.406(1)	0.3615(7)	0.543(1)	5.7 (3)
C3	-0.2072(9)	0.0575(7)	0.1540(9)	5.0 (3)	C3	0.2914(9)	0.3738(7)	0.652(1)	5.5 (3)
C4	0.0860(9)	-0.0166(7)	0.1898(9)	4.8 (3)	C4	0.5924(9)	0.3089(7)	0.697(1)	5.5 (3)
C11	0.1445(9)	0.1809(6)	0.5745(9)	4.6 (3)	C11	0.580(11)	0.6135(7)	0.854(1)	5.8 (3)
C12	-0.072(9)	0.2513(7)	0.384(1)	5.4 (3)	C12	0.590(11)	0.4818(7)	0.661(1)	5.8 (3)
C13	0.1467(9)	0.1598(7)	0.3537(9)	5.0 (3)	C13	0.380(11)	0.5824(7)	0.639(1)	5.7 (3)
C21	0.0668(9)	-0.2275(7)	0.3556(9)	4.8 (3)	C21	0.6362(9)	0.2891(7)	1.0845(9)	4.7 (3)
C22	-0.1430(9)	-0.2008(7)	0.145(1)	5.6 (3)	C22	0.6431(9)	0.1949(6)	0.8670(9)	4.4 (3)
C23	0.0676(9)	-0.2036(7)	0.1549(9)	5.0 (3)	C23	0.4392(9)	0.2192(7)	0.8881(9)	4.9 (3)
C31	-0.2676(9)	0.0604(7)	0.533(1)	5.3 (3)	C31	0.230(11)	0.5946(7)	1.024(1)	6.1 (4)
C32	-0.2689(9)	0.1567(7)	0.385(1)	5.3 (3)	C32	0.2233(9)	0.4243(7)	0.877(1)	5.6 (3)
C33	-0.2967(9)	-0.0186(6)	0.2879(9)	4.6 (3)	C33	0.2071(9)	0.5605(7)	0.779(1)	5.3 (3)
C5	0.414(1)	0.0695(7)	0.264(1)	6.4 (4)	C5	0.096(2)	0.475(2)	0.304(2)	6.7 (8)
C6	0.406(1)	0.1537(8)	0.303(1)	7.9 (4)	C6	0.101(2)	0.520(1)	0.251(2)	5.6 (7)
C7	0.395(1)	0.2012(9)	0.234(1)	9.7 (5)	C7	0.098(3)	0.467(2)	0.147(3)	10 (1)
C8	0.399(1)	0.1660(9)	0.129(1)	8.9 (5)	C8	0.108(2)	0.387(2)	0.128(3)	9 (1)
C9	0.409(1)	0.0869(8)	0.093(1)	7.1 (4)	C9	0.105(2)	0.354(2)	0.202(2)	6.8 (8)
C10	0.416(1)	0.0381(7)	0.159(1)	6.1 (4)	C10	0.094(2)	0.401(1)	0.301(2)	4.6 (6)
C51	0.424(1)	0.0189(8)	0.339(1)	6.7 (4)	C51	0.090(2)	0.512(2)	0.402(3)	9 (1)

*) Nur die Re-, P- und Si-Atome wurden anisotrop verfeinert.

$P\bar{I}$, $Z = 2$, $D_c = 1.52 \text{ g/cm}^3$, $\mu = 44.8 \text{ cm}^{-1}$, ω -scan. Datensammlung von 7496 unabhängigen Intensitäten bei 20°C ($2\Theta \leq 45^\circ$), davon 5455 beobachtet [$F_o^2 \geq 2.0\sigma(F_o^2)$]. Es wurde eine empirische Absorptionskorrektur (Ψ -scan, max. Trans. 41.3%, min. Trans. 16.8%) durchgeführt. Strukturlösung durch Patterson-Synthese und anschließende Differenz-Fourier-Synthesen. Strukturverfeinerung nach der Methode der kleinsten Fehlerquadrate mit dem SDP-Programmsystem. Die Positionen der Wasserstoffatome wurde geometrisch berechnet (C—H-Abstand 108 pm). $R = 0.048$, $R_w = 0.042$, $w = K(\sigma^2(F_o) + 0.0001 F_o^2)^{-1}$, 307 Parameter. Maximale Restelektronendichte $0.97 \text{ e}/\text{\AA}^3$.

5: $C_{21}H_{47}ClN_6O_6P_2ReSi$, Molmasse 1089.3, Enraf-Nonius-CAD-4-Vierkreisdiffraktometer, Mo- K_α -Strahlung, Graphitmonochromator, Kristallgröße $0.26 \times 0.08 \times 0.18 \text{ mm}$, $a = 1258.8(1)$, $b = 1733.4(1)$, $c = 1873.8(1) \text{ pm}$, $V = 4088.6(5) \cdot 10^6 \text{ pm}^3$, orthorhomatisch, Raumgruppe $Pca 2_1$, $Z = 4$, $D_c = 1.77 \text{ g/cm}^3$, $\mu = 63.2 \text{ cm}^{-1}$, ω -scan. Datensammlung von 3716 unabhängigen Intensitäten bei 20°C ($2\Theta \leq 50^\circ$), davon 3298 beobachtet [$F_o^2 \geq 2.0\sigma(F_o^2)$]. Es wurde eine empirische Absorptionskorrektur

Tab. 6. Atomkoordinaten und Temperatursfaktoren [\AA^2] von 5 mit Standardabweichungen

Atom	x/a	y/b	z/c	$B_{eq}^{(*)}$
Re1	0.07086(4)	0.21422(3)	0.000	3.10 (1)
Re2	0.03411(4)	0.38592(3)	0.10929(4)	2.617(8)
C11	-0.0563 (3)	0.3266 (2)	0.0025 (2)	3.88 (7)
P1	0.0029 (3)	0.2240 (2)	0.1438 (2)	2.29 (7)
P2	-0.0799 (3)	0.2788 (2)	0.2469 (2)	2.50 (7)
Si1	-0.1245 (3)	0.0941 (3)	0.0689 (2)	4.1 (1)
Si2	0.2437 (3)	0.2521 (2)	0.1380 (2)	3.22 (8)
Si4	0.0189 (3)	0.1196 (3)	0.2903 (2)	3.93 (9)
Si5	-0.0671 (3)	0.3969 (2)	0.3719 (2)	3.55 (9)
Si6	-0.3251 (3)	0.2974 (3)	0.2258 (2)	3.9 (1)
O1	0.2155 (9)	0.3076 (7)	-0.0960 (6)	6.9 (3)
O2	-0.023 (1)	0.1441 (7)	-0.1366 (6)	10.6 (4)
O3	0.2150 (8)	0.0769 (6)	-0.0111 (6)	7.0 (3)
O4	0.1873 (7)	0.4720 (6)	0.0124 (6)	6.0 (3)
O5	-0.1048 (8)	0.5291 (5)	0.1135 (7)	6.8 (3)
O6	0.1317 (8)	0.4641 (6)	0.2374 (5)	5.4 (3)
N1	-0.0274 (8)	0.1625 (6)	0.0858 (5)	3.1 (2)
N2	0.1109 (7)	0.2652 (5)	0.1111 (6)	2.6 (2)
N3	-0.0683 (7)	0.3031 (5)	0.1630 (5)	2.2 (2)
N4	-0.0110 (7)	0.1955 (6)	0.2307 (5)	2.5 (2)
N5	-0.0207 (8)	0.3264 (6)	0.3092 (5)	3.2 (2)
N6	-0.2035 (8)	0.2730 (6)	0.2706 (6)	3.4 (3)
C1	0.160 (1)	0.2728 (8)	-0.0598 (7)	4.1 (3)
C2	0.012 (2)	0.1724 (8)	-0.0848 (9)	6.5 (5)
C3	0.163 (1)	0.1330 (8)	-0.0049 (8)	4.8 (3)
C4	0.130 (1)	0.4407 (8)	0.0500 (8)	4.1 (4)
C5	-0.0514 (9)	0.4739 (7)	0.1106 (8)	4.1 (3)
C6	0.097 (1)	0.4331 (8)	0.1889 (8)	3.6 (3)
C11	-0.051 (1)	0.0079 (9)	0.0303 (9)	5.7 (4)
C12	-0.224 (1)	0.1326 (9)	0.005 (1)	6.2 (4)
C13	-0.196 (1)	0.0648 (9)	0.1520 (9)	5.4 (4)
C21	0.336 (1)	0.2886 (9)	0.0661 (8)	4.4 (4)
C22	0.271 (1)	0.1468 (8)	0.1541 (9)	4.9 (4)
C23	0.275 (1)	0.3064 (9)	0.2242 (8)	4.6 (4)
C41	0.056 (1)	0.0304 (7)	0.2409 (8)	4.9 (4)
C42	-0.103 (1)	0.101 (1)	0.3443 (9)	7.2 (5)
C43	0.132 (1)	0.1496 (9)	0.3523 (8)	5.9 (4)
C51	-0.152 (1)	0.348 (1)	0.4411 (9)	6.8 (5)
C52	0.056 (1)	0.438 (1)	0.4149 (8)	5.3 (4)
C53	-0.135 (1)	0.4764 (8)	0.3242 (8)	5.1 (4)
C61	-0.301 (1)	0.3662 (9)	0.1499 (8)	5.4 (4)
C62	-0.392 (1)	0.202 (1)	0.194 (1)	7.4 (4)
C63	-0.405 (1)	0.3426 (9)	0.299 (8)	4.9 (4)

*) Alle angegebenen Atome wurden anisotrop verfeinert.

(Ψ -scan, max. Trans. 41.5%, min. Trans. 21.3%) durchgeführt. Strukturlösung und -verfeinerung wie bei 3. Die Wasserstoffatome wurden nicht berücksichtigt. $R = 0.038$, $R_w = 0.032$, $w = K(\sigma^2(F_o) + 0.0002 F_o^2)^{-1}$, 388 Parameter. Maximale Restelektronendichte $0.72 \text{ e}/\text{\AA}^3$.

6a: $C_{26}H_{61}Cl_3N_6O_6P_2Re_2Si_7$, Molmasse 1291.1, Enraf-Nonius-CAD-4-Vierkreisdiffraktometer, Mo- K_α -Strahlung, Graphitmonochromator, Kristallgröße $0.32 \times 0.36 \times 0.28 \text{ mm}$, $a = 1383.4(4)$,

Tab. 7. Atomkoordinaten und Temperatursfaktoren [\AA^2] von 6a mit Standardabweichungen

Atom	x/a	y/b	z/c	$B_{eq}^{(*)}$
Re1	0.2690(1)	0.3739(1)	0.0811(1)	3.9(1)
Re2	0.2662(1)	0.1881(1)	-0.0233(1)	3.8(1)
C11	0.3863(1)	0.2769(1)	0.1502(2)	4.5(1)
C12	0.2700(2)	0.2927(1)	-0.1349(2)	5.6(1)
C13	0.1485(1)	0.2745(1)	0.0744(2)	4.6(1)
P1	0.3011(1)	-0.2184(1)	-0.4963(2)	2.4(1)
P2	0.1948(1)	-0.2657(1)	-0.3774(2)	2.3(1)
Si1	0.4988(2)	-0.2641(1)	-0.5834(2)	4.1(1)
Si2	0.2776(2)	-0.0776(1)	-0.6231(2)	3.8(1)
Si3	0.1303(2)	-0.3325(1)	-0.6777(2)	3.5(1)
Si4	0.3479(1)	-0.1411(1)	-0.1955(2)	3.2(1)
Si5	0.2830(2)	-0.4100(1)	-0.2776(2)	3.6(1)
Si6	-0.0012(2)	-0.1722(1)	-0.3719(2)	4.7(1)
Si7	0.0940(1)	-0.3093(1)	-0.2495(2)	3.4(1)
O1	0.1130(5)	0.4757(3)	-0.0331(7)	8.4(2)
O2	0.2645(5)	0.4568(4)	0.3521(6)	8.7(2)
O3	0.4305(5)	0.4834(4)	0.0969(7)	9.4(2)
O4	0.1052(5)	0.0951(4)	-0.2327(7)	9.1(2)
O5	0.2641(5)	0.0765(3)	0.1437(6)	7.2(2)
O6	0.4171(4)	0.0946(4)	-0.1435(7)	7.8(2)
N1	0.4016(4)	-0.2669(3)	-0.5036(5)	3.0(1)
N2	0.2882(4)	-0.1559(3)	-0.5645(5)	3.5(2)
N3	0.2025(3)	-0.2815(3)	-0.5285(5)	2.2(1)
N4	0.2875(3)	-0.2046(3)	-0.3386(5)	2.3(1)
N5	0.2040(4)	-0.3349(3)	-0.3035(5)	2.6(1)
N6	0.0905(4)	-0.2393(3)	-0.3392(5)	2.7(1)
C1	0.1722(6)	0.4383(5)	0.0112(9)	5.6(3)
C2	0.2681(6)	0.4258(5)	0.2522(8)	5.3(2)
C3	0.3676(6)	0.4400(5)	0.0857(8)	5.8(2)
C4	0.1645(6)	0.1309(5)	-0.1572(9)	5.7(3)
C5	0.2643(6)	0.1182(5)	0.0811(8)	4.8(2)
C6	0.3605(6)	0.1306(5)	-0.0951(9)	5.2(2)
C11	0.5635(6)	-0.3532(5)	-0.5674(10)	8.4(3)
C12	0.5858(6)	-0.1839(6)	-0.5014(9)	7.0(3)
C13	0.4503(6)	-0.2637(6)	-0.7587(8)	6.3(3)
C21	0.3945(6)	-0.0550(5)	-0.6664(9)	7.3(3)
C22	0.2549(7)	0.0049(5)	-0.4991(9)	7.9(3)
C23	0.1742(8)	-0.0899(5)	-0.7709(10)	9.9(3)
C31	0.0637(7)	-0.4089(5)	-0.6412(8)	6.2(2)
C32	0.2198(6)	-0.3703(5)	-0.7783(8)	5.8(3)
C33	0.0423(6)	-0.2686(5)	-0.7560(8)	5.7(3)
C41	0.4622(5)	-0.1036(4)	-0.2289(8)	4.5(2)
C42	0.3816(6)	-0.1943(5)	-0.0635(7)	4.9(2)
C43	0.2600(6)	-0.0655(5)	-0.1567(9)	6.3(3)
C51	0.3859(5)	-0.4116(4)	-0.3635(8)	4.8(2)
C52	0.2062(6)	-0.4987(4)	-0.3418(9)	6.1(3)
C53	0.3344(7)	-0.3979(5)	-0.0982(8)	7.4(3)
C61	0.0478(6)	-0.1064(4)	-0.4525(8)	5.3(2)
C62	-0.0259(6)	-0.1221(5)	-0.2137(9)	7.7(3)
C63	-0.1186(6)	-0.2215(6)	-0.4766(12)	8.8(4)
C71	-0.0104(5)	-0.3804(4)	-0.3121(8)	5.3(2)
C72	0.1153(6)	-0.2744(5)	-0.0717(7)	5.0(2)

*) Alle angegebenen Atome wurden anisotrop verfeinert.

$b = 1843.4(3)$, $c = 1089.8(4)$ pm, $\alpha = 102.72(2)$, $\beta = 103.74(3)$, $\gamma = 88.25(2)^\circ$, $V = 2633(3) \cdot 10^6$ pm³, triklin, Raumgruppe $P\bar{1}$, $Z = 2$, $D_c = 1.63$ g/cm³, $\mu = 50.6$ cm⁻¹, ω -scan. Datensammlung von 9050 unabhängigen Intensitäten bei 20°C ($2\Theta \leq 50^\circ$), davon 6805 beobachtet [$F_o^2 \geq 2.5 \sigma(F_o^2)$]. Es wurde eine empirische Absorptionskorrektur (Ψ -scan, max. Trans. 31.8%, min. Trans. 16.2%) durchgeführt. Strukturlösung und -verfeinerung wie bei 3. Die Positionen der Wasserstoffatome wurden geometrisch berechnet (C—H-Abstand 108 pm). $R = 0.035$, $R_w = 0.037$, $w = K(\sigma^2(F_o) + 0.00003 F_o^2)^{-1}$, 469 Parameter. Maximale Restelektronendichte 1.40 e/Å³.

CAS-Registry-Nummern

1: 52111-28-1 / 2: 107985-57-9 / 3: 107985-58-0 / 4: 107985-59-1 / 5: 107985-60-4 / 6a: 108007-50-7 / 6b: 108007-51-8 / 7: 61582-94-3 / [Re(CO)₅Cl]: 14099-01-5 / [Re(CO)₅Br]: 14220-21-4 / [(OC)₄ReCl]₂: 15189-52-3 / [(OC)₄ReBr]₂: 15189-54-5

- ¹⁾ XXVII. Mitteilung: O. J. Scherer, K. Forstinger, J. Kaub, W. S. Sheldrick, *Chem. Ber.* **119** (1986) 2731.
- ²⁾ Neueste Übersichten: ^{2a)} E. Fluck, *Top. Phosphorus Chem.* **10** (1980) 194. — ^{2b)} M. Regitz, G. Maas, *Top. Curr. Chem.* **97** (1981) 71. — ^{2c)} F. H. Westheimer, *Chem. Rev.* **81** (1981) 313. — ^{2d)} H. Germa, J. Navech, *Phosphorus Sulfur* **26** (1986) 327.
- ³⁾ Übersicht: O. J. Scherer, *Angew. Chem.* **97** (1985) 905; *Angew. Chem. Int. Ed. Engl.* **24** (1985) 924.
- ⁴⁾ J. Kerth, *Dissertation*, Univ. Kaiserslautern, 1984.
- ⁵⁾ Übersicht: I. Haiduc, I. Silaghi-Dumitrescu, *Coord. Chem. Rev.* **74** (1986) 127.
- ⁶⁾ ^{6a)} M. Becke-Goehring, L. Leichner, *Angew. Chem.* **76** (1964) 686; *Angew. Chem. Int. Ed. Engl.* **3** (1964) 590. — ^{6b)} J. Weiss, G. Hartmann, *Z. Anorg. Allg. Chem.* **351** (1967) 152.
- ⁷⁾ E. Horn, M. R. Snow, P. C. Zeleny, *Aust. J. Chem.* **33** (1980) 1659.
- ⁸⁾ ^{8a)} M. Veith, M. Grosser, O. Recktenwald, *J. Organomet. Chem.* **216** (1981) 27; M. Veith, W. Frank, *Angew. Chem.* **96** (1984) 163; *Angew. Chem. Int. Ed. Engl.* **23** (1984) 158; *ibid.* **97** (1985) 213; **24** (1985) 223. — ^{8b)} H. Fußstetter, H. Nöth, *Chem. Ber.* **112** (1979) 3672. — ^{8c)} K. Utváry, W. Czysch, *Monatsh. Chem.* **103** (1972) 1048; M. Charwath, K. Utváry, J. M. Kanamueller, *ibid.* **108** (1977) 1359; K. Utváry, M. Kubjacek, *ibid.* **110** (1979) 211. — ^{8d)} A. M. Pinchuk, V. A. Kovenya, *Zh. Obshch. Khim.* **44** (1974) 705. — ^{8e)} H. Schmidbaur, A. Schier, U. Schubert, *Chem. Ber.* **116** (1983) 1938. — ^{8f)} W. Clegg, R. Mulvey, R. Snaith, G. E. Toogood, K. Wade, *J. Chem. Soc., Chem. Commun.* **1986**, 1740.
- ⁹⁾ ^{9a)} R. Appel, E. Gaitzsch, F. Koch, *Angew. Chem.* **97** (1985) 574; *Angew. Chem. Int. Ed. Engl.* **24** (1985) 589. — ^{9b)} H. W. Roesky, R. Ahlrichs, S. Brode, *Angew. Chem.* **98** (1986) 91; *Angew. Chem. Int. Ed. Engl.* **25** (1986) 82.
- ¹⁰⁾ ^{10a)} P. Toffoli, P. Khodadad, N. Rodier, *Acta Crystallogr., Sect. B* **34** (1978) 3561. — ^{10b)} C. Wibbelmann, W. Brockner, B. Eisenmann, H. Schäfer, *Z. Naturforsch., Teil B*, **38** (1983) 1575. — ^{10c)} Ch. Donath, M. Meisel, K.-H. Jost, K. K. Palkina, S. I. Maksimova, N. T. Čibiskova, *Z. Naturforsch., Teil B*, **41** (1986) 1201.
- ¹¹⁾ O. J. Scherer, J. Kerth, B. K. Balbach, M. L. Ziegler, *Angew. Chem.* **94** (1982) 149; *Angew. Chem. Int. Ed. Engl.* **21** (1982) 136; *Angew. Chem. Suppl.* **1982**, 169.
- ¹²⁾ B. J. Brisdon, D. A. Edwards, J. W. White, *J. Organomet. Chem.* **161** (1978) 233.
- ¹³⁾ Weitere Einzelheiten zur Kristallstrukturuntersuchung können beim Fachinformationszentrum Energie Physik Mathematik GmbH, D-7514 Eggenstein-Leopoldshafen 2, unter Angabe der Hinterlegungsnummer CSD-52333, der Autoren und des Zeitschriftenzitats angefordert werden.
- ¹⁴⁾ Z. B. N. N. Greenwood, A. Earnshaw, *Chemistry of the Elements*, S. 65ff., Pergamon Press, New York.
- ¹⁵⁾ Z. B. W. A. Herrmann, *J. Organomet. Chem.* **300** (1986) 111, und dort zitierte Literatur.
- ¹⁶⁾ O. J. Scherer, J. Kerth, M. L. Ziegler, *Angew. Chem.* **95** (1983) 510; *Angew. Chem. Int. Ed. Engl.* **22** (1983) 503; D. Schomburg, A. Blaschette, E. Wieland, *Z. Naturforsch., Teil B*, **41** (1986) 1112.
- ¹⁷⁾ ^{17a)} S. Pohl, *J. Organomet. Chem.* **142** (1977) 195. — ^{17b)} E. E. Astrup, A. M. Bonzga, K. A. Ostoja Starzewski, *J. Mol. Struct.* **51** (1979) 51. — ^{17c)} N. Wiberg, K. Schurz, G. Reber, G. Müller, *J. Chem. Soc., Chem. Commun.* **1986**, 591. — ^{17d)} I. L. Karle, J. M. Karle, C. J. Nielsen, *Acta Crystallogr., Sect. C*, **42** (1986) 64.
- ¹⁸⁾ ^{18a)} R. L. Davis, N. C. Baenzinger, *Inorg. Nucl. Chem. Lett.* **13** (1977) 475. — ^{18b)} C. P. Hrung, M. Tsutsui, D. L. Cullen, E. F. Meyer jr., C. N. Morimoto, *J. Am. Chem. Soc.* **100** (1978) 6068.
- ¹⁹⁾ O. J. Scherer, N. Kuhn, *Chem. Ber.* **107** (1974) 2123.
- ²⁰⁾ K. J. Reimer, A. Shaver, M. H. Quick, R. J. Angelici, *Inorg. Synth.* **19** (1979) 158.
- ²¹⁾ E. W. Abel, G. B. Hargreaves, G. Wilkinson, *J. Chem. Soc.* **1958**, 3149.
- ²²⁾ R. Appel, M. Halstenberg, *J. Organomet. Chem.* **121** (1976) C47.

[32/87]